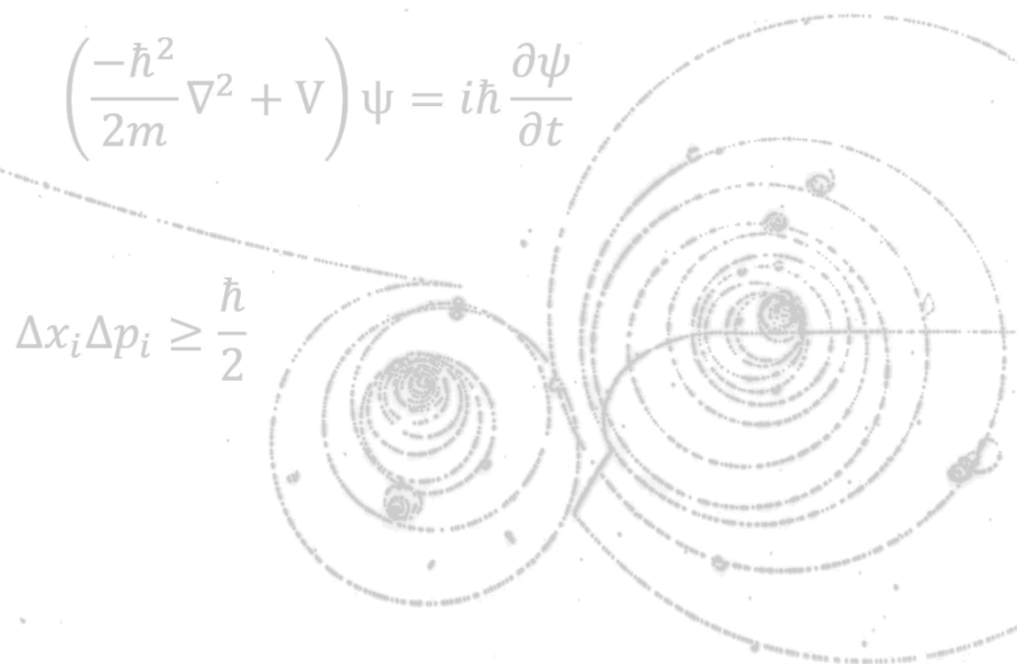


MECÂNICA QUÂNTICA I

LEFT – 3º ANO, 1º Sem (P1). (2021/2022)



SUMÁRIO:

- PROBLEMAS A UMA DIMENSÃO (Continuação)
(Griff. 2.2-2.6, Gas. 3-3, 3-5, 4)
- Barreiras de potencial (tunelamento)
- Potenciais delta
- Oscilador Harmónico

Formalismo da MQ (Griff. 3, Gas. 6-7)

- Espaços de Hilbert
- Notação de Dirac
- Operadores lineares e suas propriedades
- Evolução temporal dos estados em MQ
- Teoremas/resultados importantes



DF
DEPARTAMENTO
DE FÍSICA
TÉCNICO LISBOA

Filipe Rafael Joaquim

Centro de Física Teórica de Partículas (CFTP) – DF -IST

filipe.joaquim@tecnico.ulisboa.pt, Ext: 3704, Gab. 4-8.3

Usando o que aprendemos no caso do poço de potencial finito para $E > V_0$:

$$u_{\text{I}}(x) = e^{ik_1x} + Ae^{-ik_1x}$$

$$u_{\text{II}}(x) = B_1e^{ik_2x} + B_2e^{-ik_2x}$$

$$u_{\text{III}}(x) = Ce^{ik_1x}$$

Temos agora: $k_1^2 = \frac{2mE}{\hbar^2} > 0$, $k_2^2 = \frac{2m(E - V_0)}{\hbar^2} > 0$

Usamos as relações de continuidade para determinar as relações entre as constantes:

$$u_{\text{I}}(0) = u_{\text{II}}(0), \quad \left. \frac{\partial u_{\text{I}}(x)}{\partial x} \right|_{x=0} = \left. \frac{\partial u_{\text{II}}^+(x)}{\partial x} \right|_{x=0}, \quad u_{\text{II}}(a) = u_{\text{III}}(a), \quad \left. \frac{\partial u_{\text{II}}(x)}{\partial x} \right|_{x=a} = \left. \frac{\partial u_{\text{III}}^+(x)}{\partial x} \right|_{x=a}$$

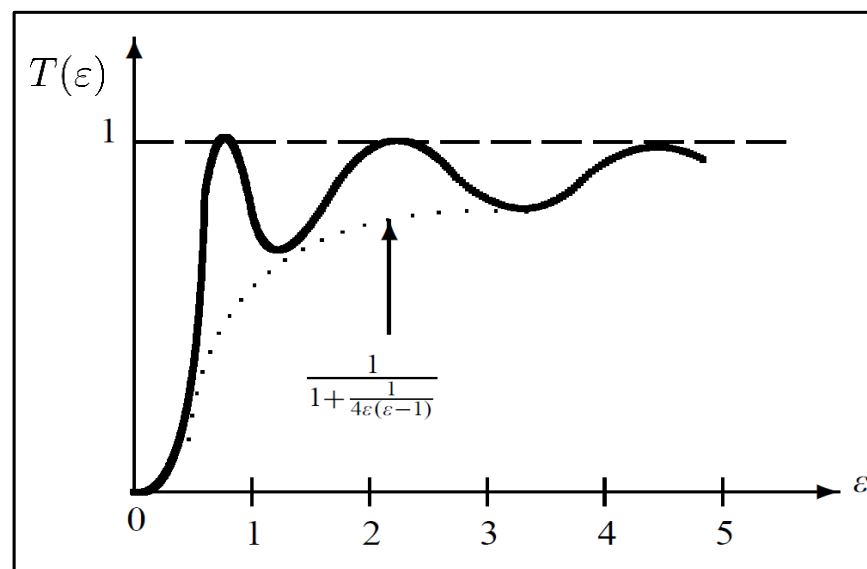
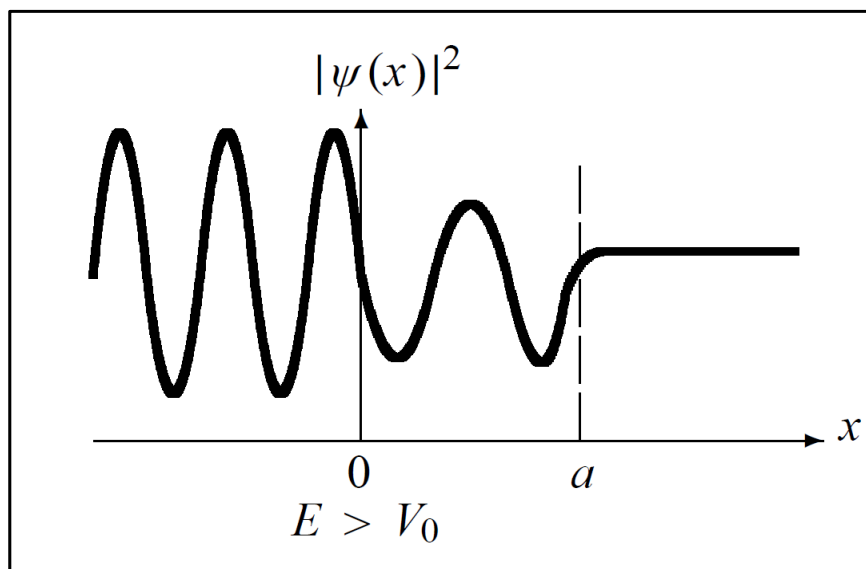
❑ Fluxos (ver caso do poço finito): $|\vec{j}_{\text{inc}}| = \frac{\hbar k_1}{m}$, $|\vec{j}_{\text{refl}}| = |A|^2 \frac{\hbar k_1}{m}$, $|\vec{j}_{\text{trans}}| = |C|^2 \frac{\hbar k_1}{m}$

❑ Coeficiente de transmissão: $T = \left| \frac{\vec{j}_{\text{trans}}}{\vec{j}_{\text{inc}}} \right| = |C|^2$, $C = \frac{4k_1k_2e^{-ik_1a}}{4k_1k_2 - 2i(k_1^2 + k_2^2)\sin(k_2a)}$

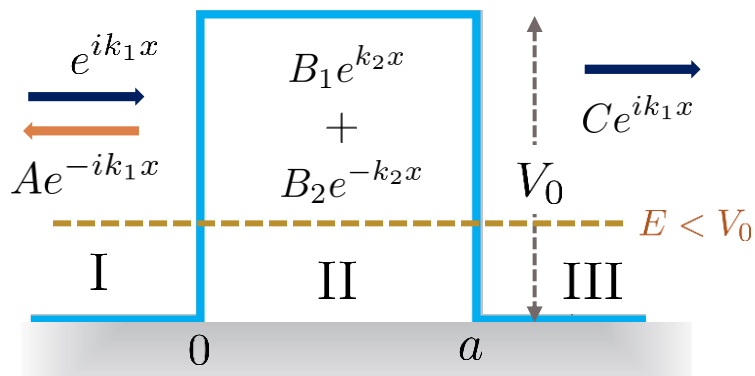
☐ **Coeficiente de transmissão:** $T^{-1} = 1 + \frac{V_0^2}{4E(E - V_0)} \sin^2 \left(a \sqrt{2mV_0/\hbar^2} \sqrt{E/V_0 - 1} \right)$

☐ **Definimos:** $\varepsilon = E/V_0$, $\lambda = a \sqrt{2mV_0/\hbar^2}$

$$T = \left[1 + \frac{1}{4\varepsilon(\varepsilon - 1)} \sin^2(\lambda \sqrt{\varepsilon - 1}) \right]^{-1}, \quad R = 1 - T = \left[1 + \frac{4\varepsilon(\varepsilon - 1)}{\sin^2(\lambda \sqrt{\varepsilon - 1})} \right]^{-1}$$



☐ Para altas energias ou barreiras “baixas”, $T \rightarrow 1$. As partículas não sentem o efeito do potencial.



$$\begin{aligned} u_{\text{I}}(x) &= e^{ik_1x} + Ae^{-ik_1x} \\ u_{\text{II}}(x) &= B_1e^{k_2x} + B_2e^{-k_2x} \\ u_{\text{III}}(x) &= Ce^{ik_1x} \end{aligned}$$

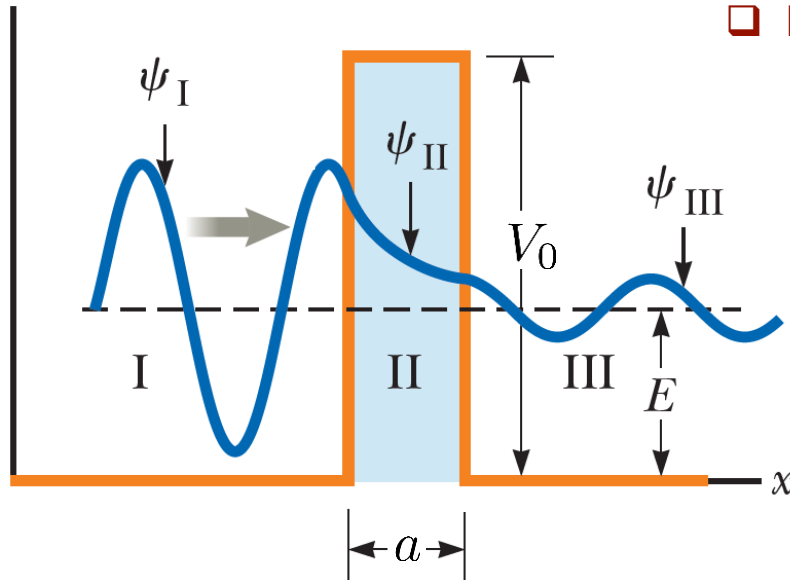
Também se poderia usar:
 $u_{\text{I}}(x) = Ae^{ik_1x} + Be^{-ik_1x}$

Temos agora: $k_1^2 = \frac{2mE}{\hbar^2} > 0$, $k_2^2 = \frac{2m(V_0 - E)}{\hbar^2} > 0$

Usamos as relações de continuidade para determinar as constantes A e C

$$A = -i \frac{k_1^2 + k_2^2}{k_1 k_2} \sinh(k_2 a) \left[2 \cosh(k_2 a) + i \frac{k_2^2 - k_1^2}{k_1 k_2} \sinh(k_2 a) \right]^{-1}, \quad C = 2e^{-ik_1 a} \left[2 \cosh(k_2 a) + i \frac{k_2^2 - k_1^2}{k_1 k_2} \sinh(k_2 a) \right]^{-1}$$

$$\begin{aligned} T &= \left[1 + \frac{1}{4} \left(\frac{k_1^2 + k_2^2}{k_1 k_2} \right)^2 \sinh^2(k_2 a) \right]^{-1} \longrightarrow T = \left[1 + \frac{1}{4} \frac{V_0^2}{E(V_0 - E)} \sinh^2 \left(\frac{a}{\hbar} \sqrt{2m(V_0 - E)} \right) \right]^{-1} \\ R &= \frac{1}{4} T \left(\frac{k_1^2 + k_2^2}{k_1 k_2} \right)^2 \sinh^2(k_2 a) \longrightarrow R = \frac{1}{4} \frac{V_0^2 T}{E(V_0 - E)} \sinh^2 \left(\frac{a}{\hbar} \sqrt{2m(V_0 - E)} \right) \end{aligned}$$



□ Definimos novamente: $\varepsilon = E/V_0$, $\lambda = a\sqrt{2mV_0/\hbar^2}$

$$R = \frac{T}{4\varepsilon(1-\varepsilon)} \sinh^2 \left(\lambda \sqrt{1-\varepsilon} \right),$$

$$T = \left[1 + \frac{1}{4\varepsilon(1-\varepsilon)} \sinh^2 \left(\lambda \sqrt{1-\varepsilon} \right) \right]^{-1}$$

Tunelamento: Objetos quânticos podem “tunelar” através de barreiras classicamente impenetráveis.

□ $\lambda \sqrt{1-\varepsilon} = k_2 a = \frac{a}{\hbar} \sqrt{2m(V_0 - E)} \gg 1 \longrightarrow \sinh(\lambda \sqrt{1-\varepsilon}) \simeq \frac{1}{2} \exp(\lambda \sqrt{1-\varepsilon})$

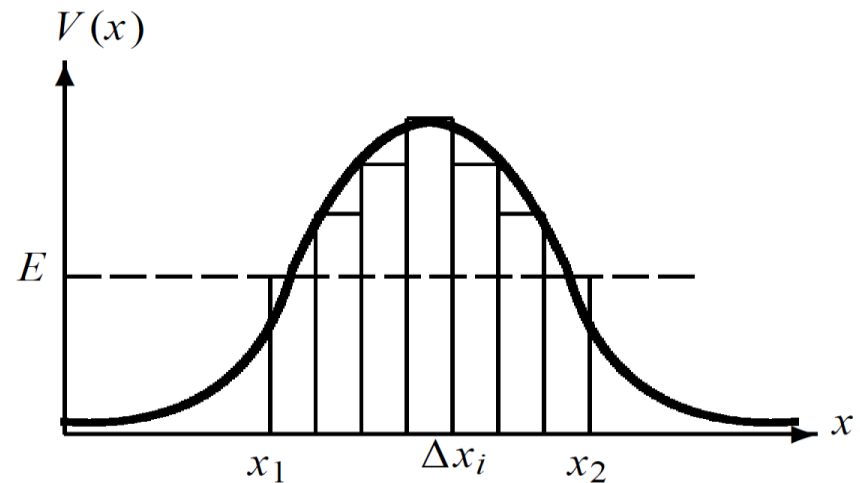
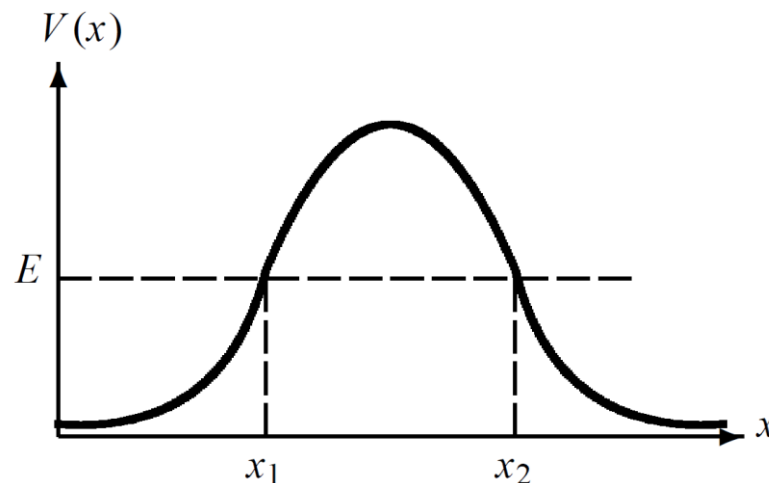
$$T = \left[1 + \frac{1}{4} \left(\frac{k_1^2 + k_2^2}{k_1 k_2} \right)^2 \sinh^2(k_2 a) \right]^{-1} \xrightarrow{k_2 a \gg 1} \boxed{T \simeq \left(\frac{4k_1^2 k_2^2}{k_1^2 + k_2^2} \right)^2 e^{-2k_2 a}}$$

É fácil de ver que quando $\hbar \rightarrow 0$ (limite clássico) ou $a \rightarrow \infty$ temos $T \rightarrow 0$

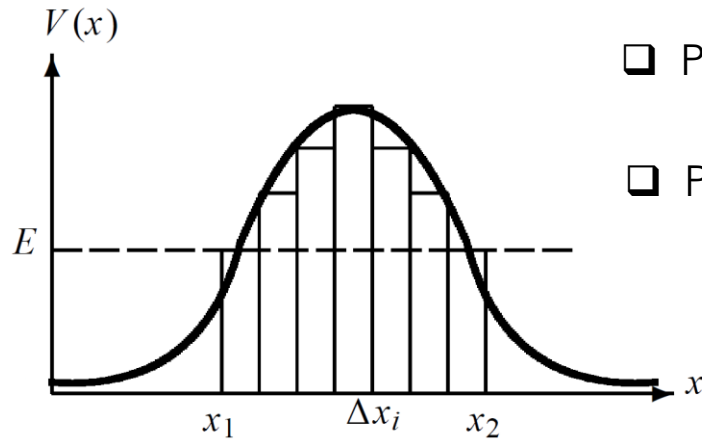
$$T \simeq \left(\frac{4k_1^2 k_2^2}{k_1^2 + k_2^2} \right)^2 e^{-2k_2 a} \longrightarrow \ln(T) \simeq -2k_2 a + 2 \ln \left(\frac{4k_1^2 k_2^2}{k_1^2 + k_2^2} \right) \simeq -2k_2 a$$

Vamos usar esta aproximação para dizer que: $T \simeq e^{-2k_2 a}$

GERALMENTE AS BARREIRAS DE POTENCIAL NÃO SÃO RETANGULARES...



Dividimos a região não clássica em barreiras retangulares de largura Δx_i e valor $V(x_i)$



□ Para cada barreira: $T_i \sim \exp \left[-\frac{2\Delta x_i}{\hbar} \sqrt{2m(V(x_i) - E)} \right]$

□ Para toda a barreira:

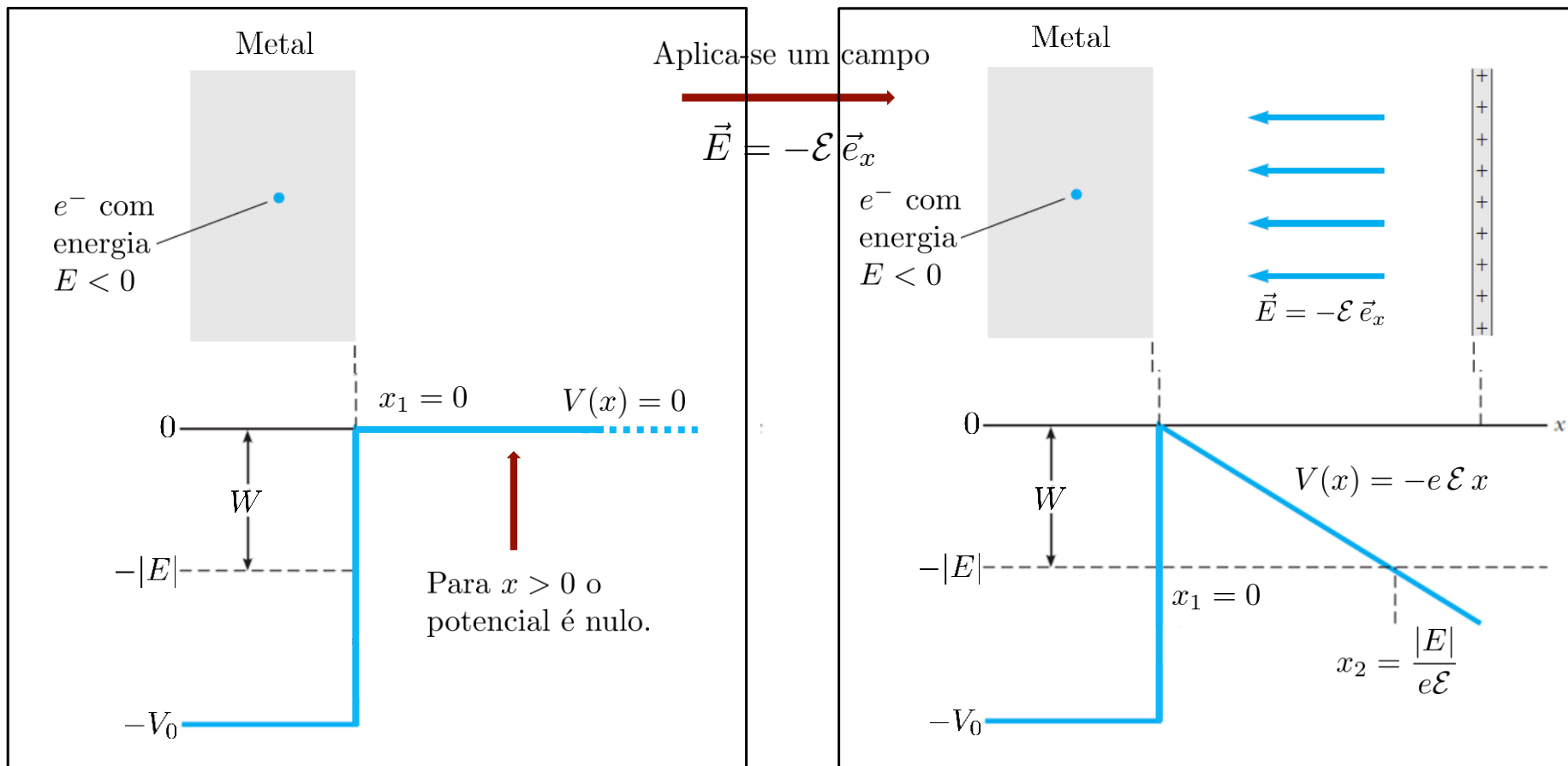
$$T \simeq \lim_{N \rightarrow \infty} \prod_{i=1}^N \exp \left[-\frac{2\Delta x_i}{\hbar} \sqrt{2m(V(x_i) - E)} \right]$$

$$= \exp \left[-\frac{2}{\hbar} \lim_{\Delta x_i \rightarrow 0} \sum_i \Delta x_i \sqrt{2m(V(x_i) - E)} \right]$$

Então temos a aproximação: $T \simeq \exp \left[-\frac{2}{\hbar} \int_{x_1}^{x_2} dx \sqrt{2m[V(x) - E]} \right]$

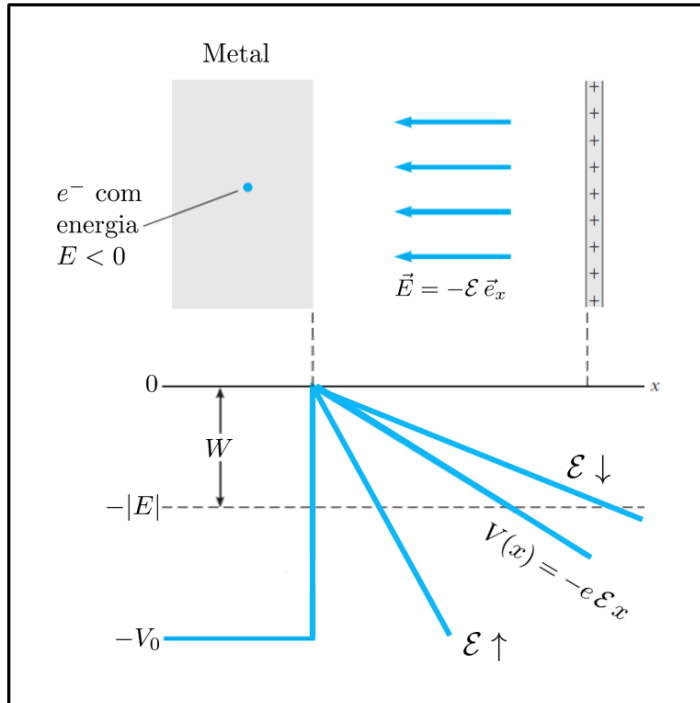
É comum encontrar: $T \simeq e^{-2\gamma}$, $\gamma = \frac{1}{\hbar} \int_{x_1}^{x_2} dx \sqrt{2m[V(x) - E]}$

APLICAÇÕES DE TUNELAMENTO – Emissão por campo



Podemos agora calcular o coeficiente de transmissão:

$$T \simeq e^{-2\gamma}, \quad \gamma = \frac{1}{\hbar} \int_0^{\frac{|E|}{e\mathcal{E}}} \sqrt{2m_e[|E| - e\mathcal{E}x]} dx = \frac{2\sqrt{2m_e}|E|^{3/2}}{3e\hbar} \frac{1}{\mathcal{E}}$$



Coeficiente de transmissão:

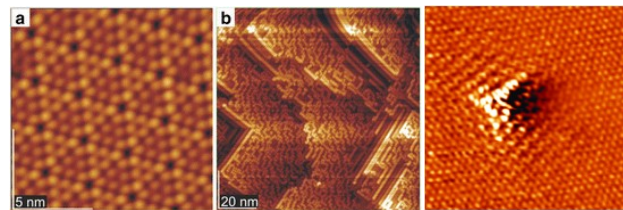
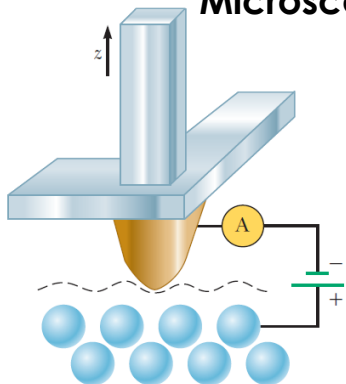
$$T \simeq \exp \left[-\frac{4\sqrt{2m_e}|E|^{3/2}}{3e\hbar} \frac{1}{\mathcal{E}} \right]$$

Os eletrões mais fáceis de arrancar são os mais energéticos (os do mar de Fermi) com energia $|E| = W$.
Para esses eletrões:

$$T \simeq \exp \left[-\frac{4\sqrt{2m_e}W^{3/2}}{3e\hbar} \frac{1}{\mathcal{E}} \right]$$

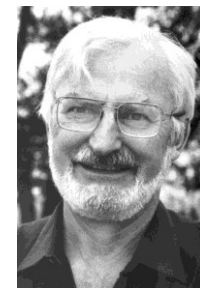
(Fórmula de Fowler-Nordheim)

Microscópio por corrente de tunelamento (scanning tunneling microscope - STM)



O prémio Nobel da Física foi atribuído a Rohrer e Binnig em 1986;

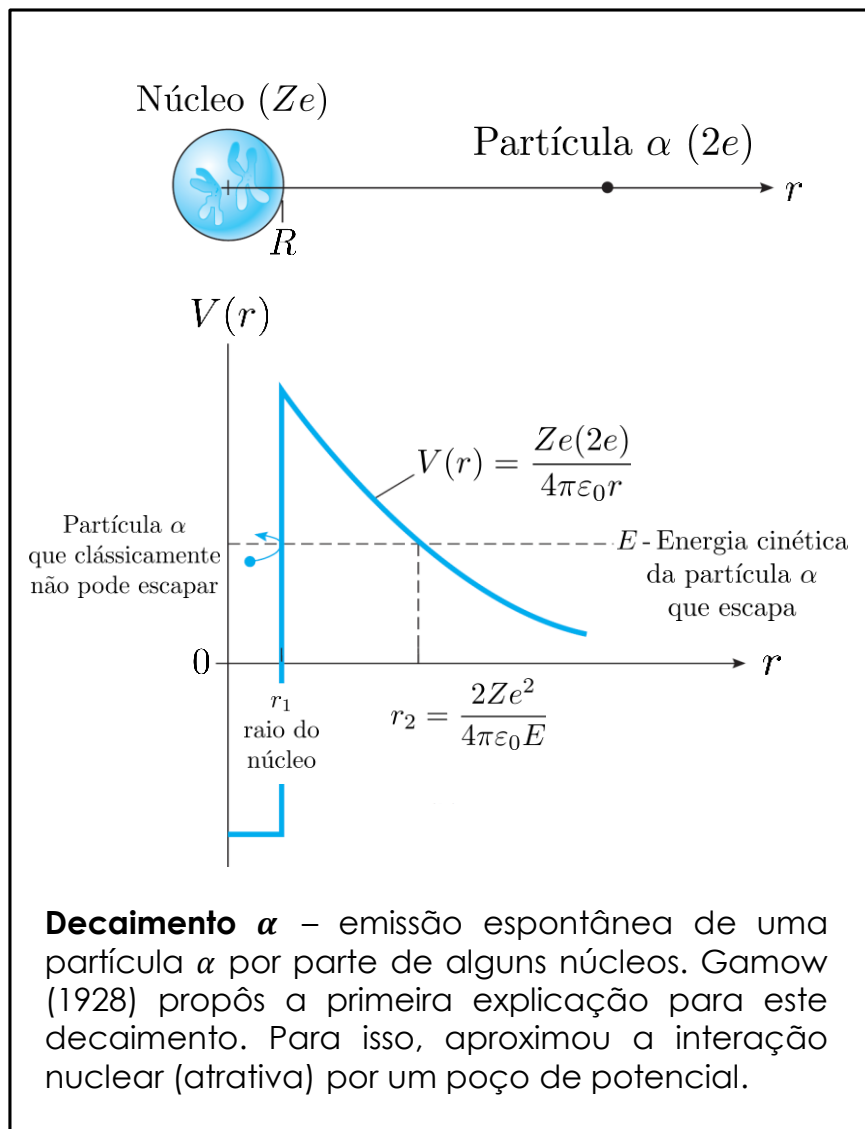
"for their design of the scanning tunneling microscope."



Heinrich Rohrer



Gerd Binnig



Pontos de retorno clássico (pontos em que $V(r) = E$):

$$r_1 \text{ (raio do núcleo) , } r_2 = \frac{2Ze^2}{4\pi\epsilon_0 E}$$

Pelo que vimos anteriormente, o coeficiente de transmissão através da barreira de Coulomb é dada por:

$$T \simeq e^{-2\gamma}, \quad \gamma = \frac{1}{\hbar} \int_{r_1}^{r_2} dr \sqrt{2m[V(r) - E]}$$

Resta-nos agora calcular este integral...

$$\gamma = \frac{1}{\hbar} \int_{r_1}^{r_2} \sqrt{2m \left(\frac{1}{4\pi\epsilon_0} \frac{2Ze^2}{r} - E \right)} dr = \frac{\sqrt{2mE}}{\hbar} \int_{r_1}^{r_2} \sqrt{\frac{r_2}{r} - 1} dr$$

$$\xrightarrow{r \equiv r_2 \sin^2 u} \gamma = \frac{\sqrt{2mE}}{\hbar} \left[r_2 \left(\frac{\pi}{2} - \sin^{-1} \sqrt{\frac{r_1}{r_2}} \right) - \sqrt{r_1(r_2 - r_1)} \right]$$

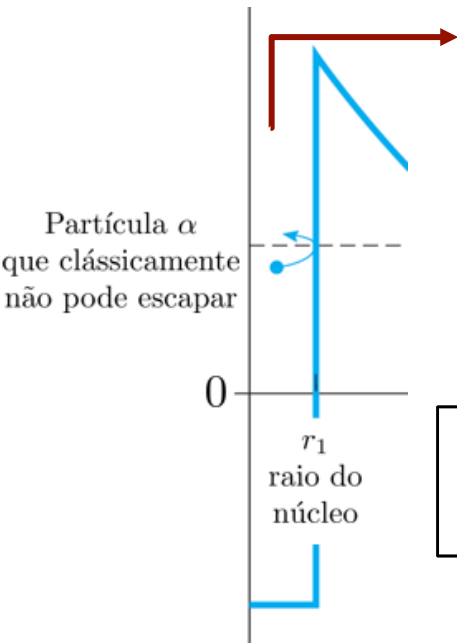
Tendo em conta que, tipicamente, $r_1 \ll r_2$:

$$\gamma \cong \frac{\sqrt{2mE}}{\hbar} \left[\frac{\pi}{2} r_2 - 2\sqrt{r_1 r_2} \right] = K_1 \frac{Z}{\sqrt{E}} - K_2 \sqrt{Z r_1}$$

$$K_1 \equiv \left(\frac{e^2}{4\pi\epsilon_0} \right) \frac{\pi \sqrt{2m}}{\hbar} = 1.980 \text{ MeV}^{1/2},$$

$$K_2 \equiv \left(\frac{e^2}{4\pi\epsilon_0} \right)^{1/2} \frac{4\sqrt{m}}{\hbar} = 1.485 \text{ fm}^{-1/2}$$

T – Probabilidade de a partícula α tunelar
Como vamos determinar o tempo de vida médio?



- ❑ A frequência de colisão com a “parede” do potencial é:

$$f = \frac{v}{2r_1} \text{ , onde } v \text{ é a velocidade típica da partícula } \alpha \text{ dentro do núcleo}$$

- ❑ Probabilidade de emissão por unidade de tempo: $\frac{v}{2r_1} e^{-2\gamma}$

O tempo de vida é então: $\tau = \frac{2r_1}{v} e^{2\gamma} \longrightarrow \tau_{1/2} = \ln(2) \frac{2r_1}{v} e^{2\gamma}$

Tendo em conta que: $\gamma \cong \frac{\sqrt{2mE}}{\hbar} \left[\frac{\pi}{2} r_2 - 2\sqrt{r_1 r_2} \right] = K_1 \frac{Z}{\sqrt{E}} - K_2 \sqrt{Z r_1}$

$\longrightarrow \log_{10}(\tau_{1/2}) = A(Z) \frac{1}{\sqrt{E}} + B(Z)$
Lei de Geiger-Nuttall

Physics Letters B 734 (2014) 203–206



Contents lists available at ScienceDirect

Physics Letters B

www.elsevier.com/locate/physletb



Neste artigo testa-se a validade da relação de Geiger-Nuttall

$$\log_{10} T_{1/2} = A(Z) Q_{\alpha}^{-1/2} + B(Z)$$



On the validity of the Geiger–Nuttall alpha-decay law and its microscopic basis

C. Qi^{a,*}, A.N. Andreyev^{b,c}, M. Huyse^d, R.J. Liotta^a, P. Van Duppen^d, R. Wyss^a

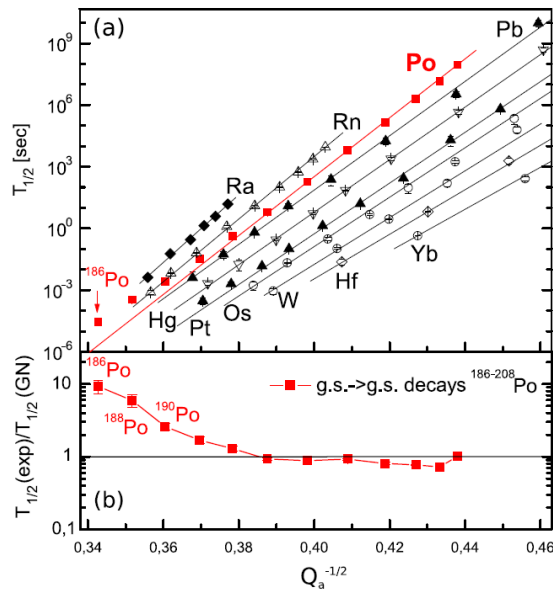


Fig. 1. (a) The logarithms of experimental partial α -decay half-lives (in s) [2,3,7,6] for the even-even Yb–Ra nuclei with neutron number $N < 126$ as a function of $Q_{\alpha}^{-1/2}$ (in $\text{MeV}^{-1/2}$). The straight lines show the description of the GN law with A and B values fitted for each isotopic chain. (b) The deviation of the experimental α -decay half-lives from those predicted by the GN law for the light Po isotopes.

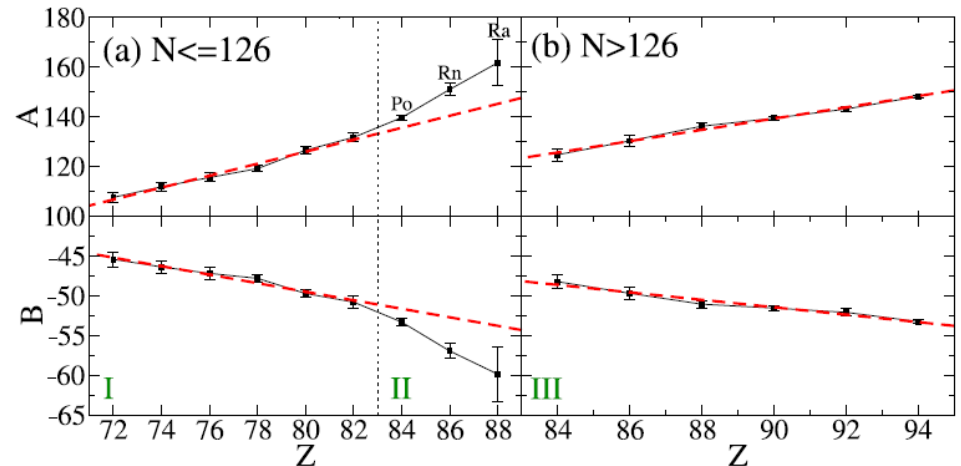
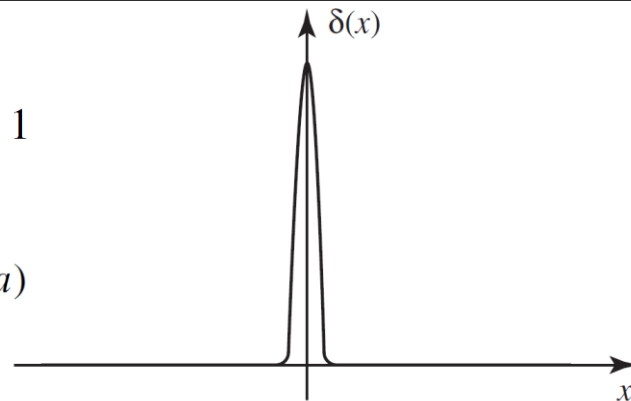


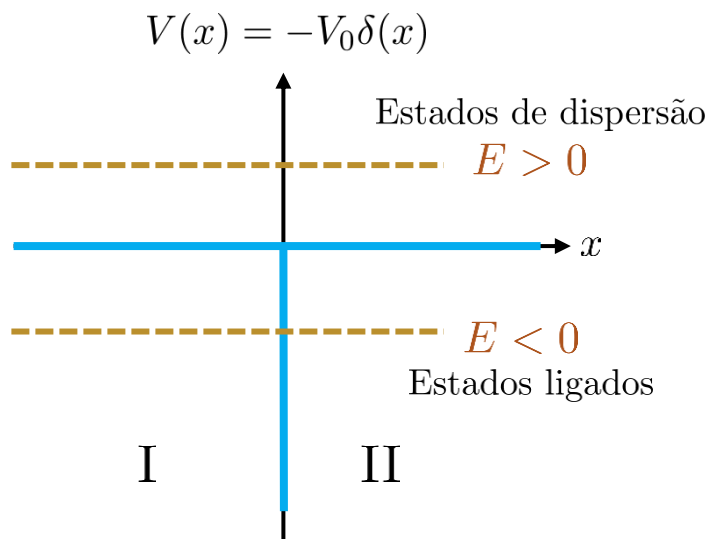
Fig. 2. (Color online.) (a) The coefficients $A(Z)$ and $B(Z)$ for even–even nuclei in regions I ($Z \leq 82$) and II ($Z > 82$) with $N \leq 126$. The red dashed lines are fitted only for the data from region I with $Z \leq 82$ giving $A(Z) = 2.41Z - 66.7$ and $B(Z) = -0.54Z - 6.61$. (b) Same as (a) but for nuclei in region III ($Z > 82$), i.e., polonium to plutonium isotopes with neutron numbers $N > 126$. Again, the red dashed lines are determined by a fitting procedure, which gives $A(Z) = 2.27Z - 65.0$ and $B(Z) = -0.47Z - 9.36$.

$$\delta(x) \equiv \left\{ \begin{array}{ll} 0, & \text{if } x \neq 0 \\ \infty, & \text{if } x = 0 \end{array} \right\}, \text{ with } \int_{-\infty}^{+\infty} \delta(x) dx = 1$$

$$\int_{-\infty}^{+\infty} f(x) \delta(x - a) dx = f(a) \int_{-\infty}^{+\infty} \delta(x - a) dx = f(a)$$



□ Vamos considerar o potencial δ atrativo: $V(x) = -V_0\delta(x)$



□ E.S.: $-\frac{\hbar^2}{2m} \frac{\partial^2 \psi(x)}{\partial x^2} - V_0 \delta(x) \psi(x) = E \psi(x)$

□ Estados ligados: $E < 0$

Para $x > 0$ e $x < 0$ (regiões I e II):

$$\frac{\partial^2 \psi(x)}{\partial x^2} = k^2 \psi(x), \quad k^2 = \frac{2m|E|}{\hbar^2} > 0$$

Vamos considerar de novo a E.S. independente do tempo:

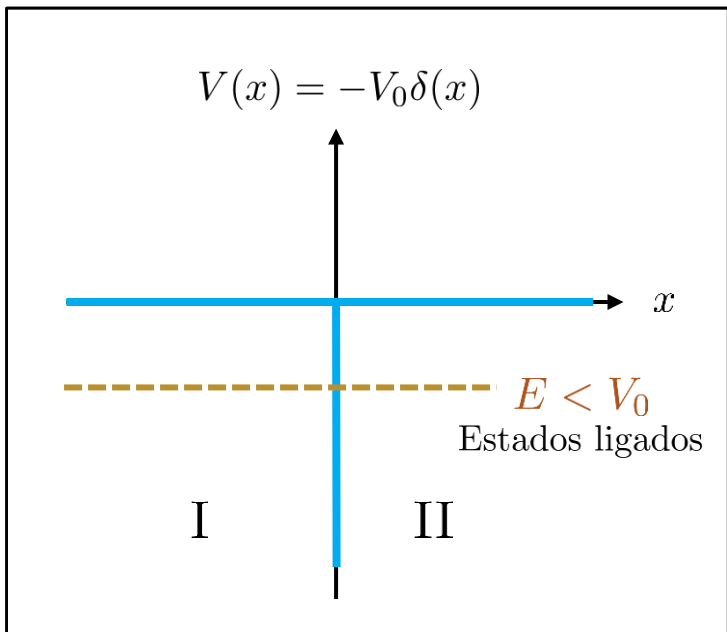
$$\frac{\partial^2 \psi(x)}{\partial x^2} = \frac{2m}{\hbar^2} [V(x) - E] \psi(x) \xrightarrow[\text{à volta de um ponto com } x = a, \text{ i.e. entre } a - \epsilon \text{ e } a + \epsilon.]{\text{Integramos agora a função}} \int_{a-\epsilon}^{a+\epsilon} \frac{\partial^2 \psi(x)}{\partial x^2} dx = \frac{2m}{\hbar^2} \int_{a-\epsilon}^{a+\epsilon} [V(x) - E] \psi(x) dx$$

$$\boxed{\frac{\partial \psi(x)}{\partial x} \Big|_{x=a^+} - \frac{\partial \psi(x)}{\partial x} \Big|_{x=a^-} = \frac{2m}{\hbar^2} \int_{a-\epsilon}^{a+\epsilon} [V(x) - E] \psi(x) dx, \quad a^\pm = x \pm \epsilon}$$

$$\xrightarrow{\lim_{\epsilon \rightarrow 0}} \frac{\partial \psi(x)}{\partial x} \Big|_{x=a^+} - \frac{\partial \psi(x)}{\partial x} \Big|_{x=a^-} = \frac{2m}{\hbar^2} \lim_{\epsilon \rightarrow 0} \left[\int_{a-\epsilon}^{a+\epsilon} V(x) \psi(x) dx \right], \quad a^\pm = x \pm \epsilon$$

- Se $V(x)$ é finito então: $\lim_{\epsilon \rightarrow 0} \left[\frac{\partial \psi(x)}{\partial x} \Big|_{x=a^+} - \frac{\partial \psi(x)}{\partial x} \Big|_{x=a^-} \right] = 0$
- Se $V(x)$ for infinito, por ex. $V(x) = V_0 \delta(x)$ então: $\lim_{\epsilon \rightarrow 0} \left[\frac{\partial \psi(x)}{\partial x} \Big|_{x=a^+} - \frac{\partial \psi(x)}{\partial x} \Big|_{x=a^-} \right] = \frac{2mV_0}{\hbar^2} \psi(a)$

As derivadas das funções de onda são descontínuas em pontos onde o potencial é infinito.



❑ Nas regiões I e II a solução mais geral será:

$$\psi_I(x) = F e^{-kx} + B e^{kx}, \quad \psi_{II}(x) = C e^{kx} + A e^{-kx}$$

❑ Relações de (des)continuidade



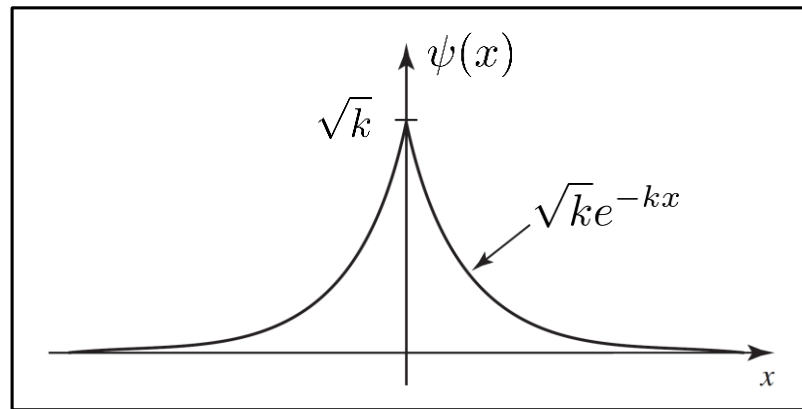
- A função de onda tem que ser contínua;
- A derivada da função de onda pode ser descontínua em pontos em que o potencial for ∞ ;

Continuidade: $\psi_I(0) = A = \psi_{II}(0) = B \rightarrow A = B$

$$\rightarrow \psi(x) = \begin{cases} B e^{kx}, & x \leq 0 \\ B e^{-kx}, & x \geq 0 \end{cases} \quad \xrightarrow{\text{normalização}} \quad B = \sqrt{k}$$

Descontinuidade: Vamos integrar a E.S. de $-\epsilon$ a ϵ e fazemos o limite $\epsilon \rightarrow 0$

$$-\frac{\hbar^2}{2m} \int_{-\epsilon}^{+\epsilon} \frac{\partial^2 \psi(x)}{\partial x^2} dx + \int_{-\epsilon}^{+\epsilon} V(x) \psi(x) dx = E \int_{-\epsilon}^{+\epsilon} dx$$



$$-\frac{\hbar^2}{2m} \left\{ \underbrace{\left[\frac{\partial \psi(x)}{\partial x} \right]_{x=\epsilon} - \left[\frac{\partial \psi(x)}{\partial x} \right]_{x=-\epsilon}}_{-Bke^{-k\epsilon} - Bke^{k\epsilon}} \right\} - V_0 \underbrace{\int_{-\epsilon}^{+\epsilon} \delta(x) \psi(x) dx}_{\psi(0) = B} = 0 \quad \xrightarrow{\lim_{\epsilon \rightarrow 0}} \quad \frac{\hbar^2}{m} k = V_0 \rightarrow k = \frac{mV_0}{\hbar^2}$$

$$k^2 = \frac{2m|E|}{\hbar^2} \rightarrow E = -\frac{mV_0^2}{2\hbar^2}$$

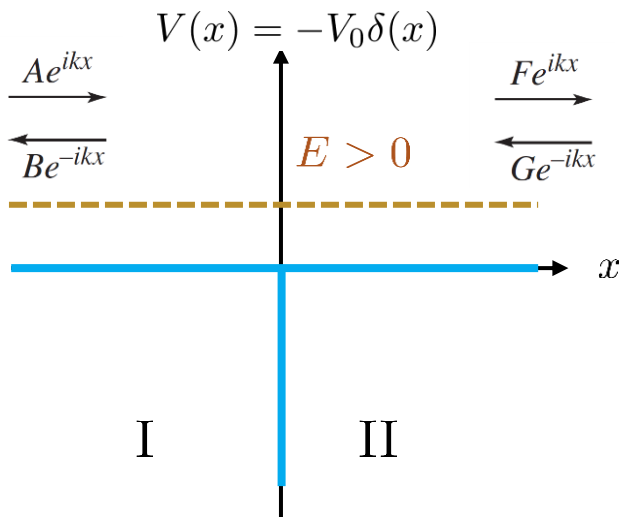
$$B = \sqrt{k} = mV_0/\hbar$$

O potencial δ atrativo tem apenas um estado ligado com função de onda e energia dados por:

$$\psi(x) = \frac{\sqrt{mV_0}}{\hbar} e^{-mV_0|x|/\hbar^2}$$

$$E = -\frac{mV_0^2}{2\hbar^2}$$

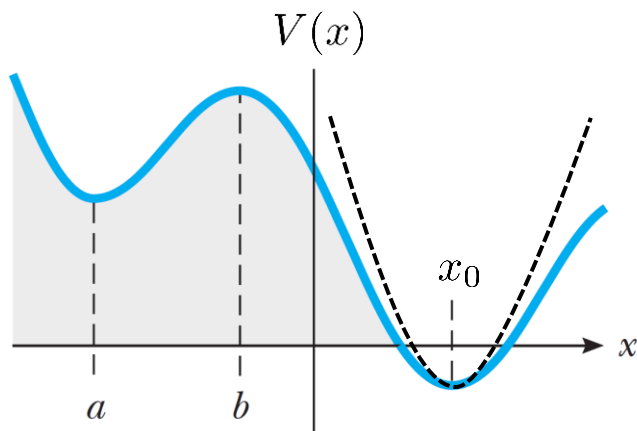
Estados de dispersão



Para os estados de dispersão, podemos determinar os coeficientes de transmissão e reflexão, tal como nos casos anteriores. O cálculo não tem nada de novo e está detalhado na secção 2.5.2 do Griffiths

$$R = \frac{1}{1 + 2\hbar^2 E/(mV_0^2)}, \quad T = \frac{1}{1 + mV_0^2/(2\hbar^2 E)}$$

LEI DE HOOKE: $F = -kx = m \frac{d^2x}{dt^2} \longrightarrow \omega \equiv \sqrt{\frac{k}{m}}$ - frequência angular de oscilação



O movimento em torno de um ponto de equilíbrio estável é, no limite das pequenas amplitudes, descrito por um oscilador harmónico

$$V(x) = V(x_0) + V'(x_0)(x - x_0) + \frac{1}{2}V''(x_0)(x - x_0)^2 + \dots$$

$$\longrightarrow V(x) \approx \frac{1}{2}V''(x_0)(x - x_0)^2 \longrightarrow k = V''(x_0)$$

OSCILADOR HARMÓNICO QUÂNTICO A 1-D: Resolver a eq. de Schrödinger com o potencial:

$$V(x) = \frac{1}{2}m\omega^2x^2$$

Como depende só de x a E.S. é separável.

$$\text{E.S. independente do tempo: } -\frac{\hbar^2}{2m} \frac{\partial^2 \psi(x)}{\partial x^2} + \frac{1}{2}m\omega^2x^2\psi(x) = E\psi(x)$$

RESOLUÇÃO DA E.S. INDEPENDENTE DO TEMPO

Método algébrico (Griff. 2.3.1)

$$\hat{H}\psi(x) = E\psi(x) \longrightarrow \hat{H} = \frac{1}{2m} \left[\hat{p}^2 + (m\omega x)^2 \right]$$

□ Definimos os operadores:

$$\hat{a}_{\pm} \equiv \frac{1}{\sqrt{2\hbar m\omega}} (\mp i\hat{p} + m\omega x) \longrightarrow \hat{H} = \hbar\omega \left(\hat{a}_- \hat{a}_+ - \frac{1}{2} \right)$$

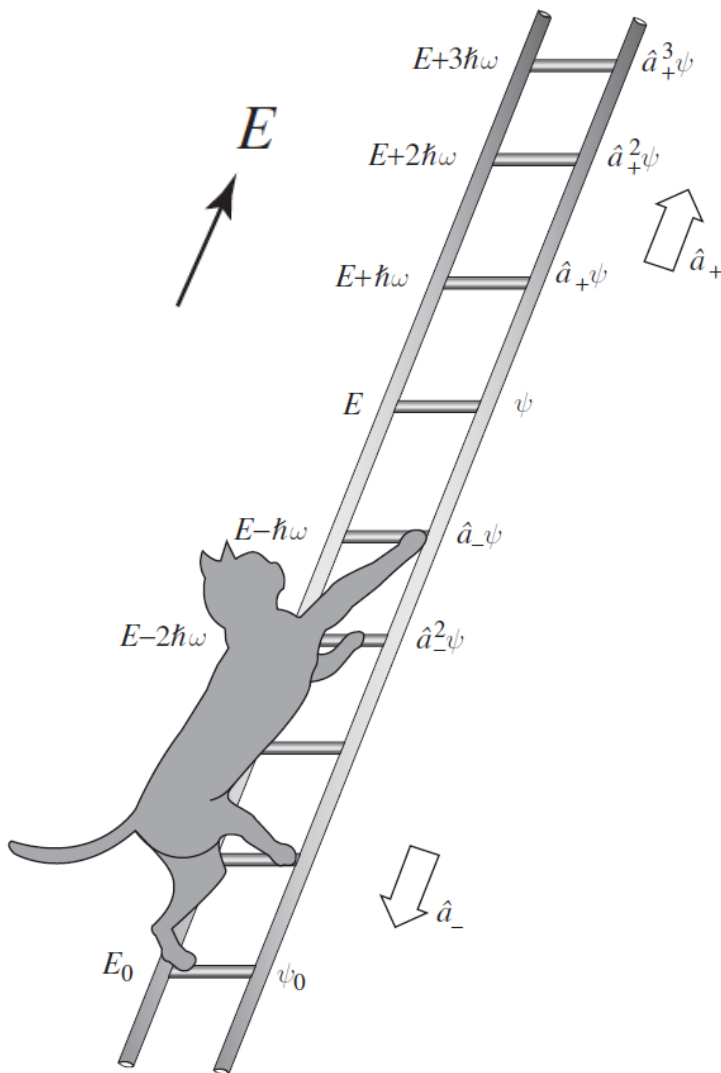
□ Com isto, o problema inicial resume-se a:

$$-\frac{\hbar^2}{2m} \frac{\partial^2 \psi(x)}{\partial x^2} + \frac{1}{2} m\omega^2 x^2 \psi(x) = E\psi(x) \longrightarrow \hbar\omega \left(\hat{a}_{\pm} \hat{a}_{\mp} \pm \frac{1}{2} \right) \psi = E\psi$$

Se $\psi(x)$ obedece à E.S. de tal modo que $\hat{H}\psi(x) = E\psi(x)$, então:

$$\hat{H} [\hat{a}_+ \psi(x)] = (E + \hbar\omega) \psi(x) \text{ e } \hat{H} [\hat{a}_- \psi(x)] = (E - \hbar\omega) \psi(x)$$

Ver demonstração no Griff.



- A ação dos operadores de subida (\hat{a}_+) e descida (\hat{a}_-) levam a estados com $E + \hbar\omega$ e $E - \hbar\omega$, respetivamente

$$\hat{a}_{\pm} \equiv \frac{1}{\sqrt{2\hbar m\omega}} (\mp i\hat{p} + m\omega x)$$

ISTO REPRESENTA UM PROBLEMA... QUAL?

Ao aplicar indefinidamente \hat{a}_- chegamos a estados com energia negativa...



Tem que haver um estado para o qual

$$\hat{a}_- \psi_0 = 0$$

Ou seja, a função de onda é zero para energias negativas

- ❑ Vamos encontrar $\psi_0(x)$

$$\hat{a}_- \psi_0 = 0 \longrightarrow \frac{1}{\sqrt{2\hbar m\omega}} \left(\hbar \frac{d}{dx} + m\omega x \right) \psi_0 = 0 \longrightarrow \frac{d\psi_0}{dx} = -\frac{m\omega}{\hbar} x \psi_0$$

$$\int \frac{d\psi_0}{\psi_0} = -\frac{m\omega}{\hbar} \int x dx \Rightarrow \ln \psi_0 = -\frac{m\omega}{2\hbar} x^2 + \text{constante} \longrightarrow \psi_0(x) = A e^{-\frac{m\omega}{2\hbar} x^2}$$

- ❑ Depois de normalizar, a função de onda para o estado de energia mais baixa (estado fundamental) do oscilador harmónico é dada por:

$$\psi_0(x) = \left(\frac{m\omega}{\pi \hbar} \right)^{1/4} e^{-\frac{m\omega}{2\hbar} x^2}.$$

- ❑ Tendo agora em conta que $\hat{H}\psi_0(x) = E_0\psi_0(x)$

$$\hbar\omega (\hat{a}_+ \hat{a}_- + 1/2) \psi_0 = E_0 \psi_0 \longrightarrow E_0 = \frac{1}{2} \hbar\omega$$

O ESTADO FUNDAMENTAL DO OSCILADOR HARMÓNICO É CARACTERIZADO POR:

$$\psi_0(x) = \left(\frac{m\omega}{\pi \hbar} \right)^{1/4} e^{-\frac{m\omega}{2\hbar} x^2}, \quad E_0 = \frac{1}{2} \hbar\omega$$

COMO VAMOS DETERMINAR OS ESTADOS ESCITADOS?

- Sabemos que a ação de \hat{a}_+ faz subir a energia de $\hbar\omega$. Então, se aplicarmos n vezes, chegaremos a um estado ψ_n com energia E_n

$$\psi_n(x) = A_n (\hat{a}_+)^n \psi_0(x) \quad \text{com} \quad E_n = \left(n + \frac{1}{2}\right) \hbar\omega$$

Está rigorosamente provado no Griffiths que:

$$\psi_n = \frac{1}{\sqrt{n!}} (\hat{a}_+)^n \psi_0 \quad , \quad \hat{a}_+ \psi_n = \sqrt{n+1} \psi_{n+1}, \quad \hat{a}_- \psi_n = \sqrt{n} \psi_{n-1}$$

É fácil de mostrar que os estados estacionários do OH são ortogonais entre si:

$$\int_{-\infty}^{\infty} \psi_m^* \psi_n dx = \delta_{mn}$$

**Existe uma forma alternativa de determinar os estados estacionários do OH
(método analítico – Griff. 2.3.2, Gasio. 4-7)**

O método analítico permite mostrar que:

$$\psi_n(x) = \left(\frac{m\omega}{\pi\hbar}\right)^{1/4} \frac{1}{\sqrt{2^n n!}} H_n(\xi) e^{-\xi^2/2}$$

$$\xi \equiv \sqrt{\frac{m\omega}{\hbar}} x$$

onde $H_n(x)$ e são os polinómios de Hermite. Obviamente esta solução é equivalente à obtida pelo método algébrico.

$$H_0(y) = 1,$$

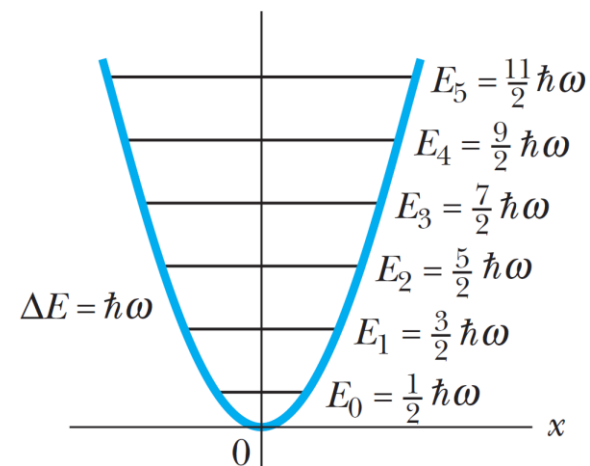
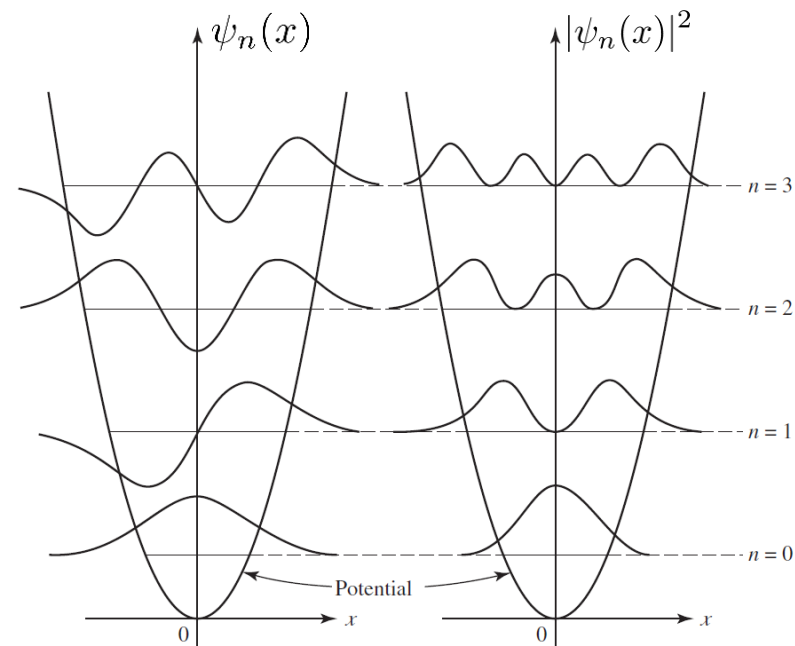
$$H_2(y) = 4y^2 - 2,$$

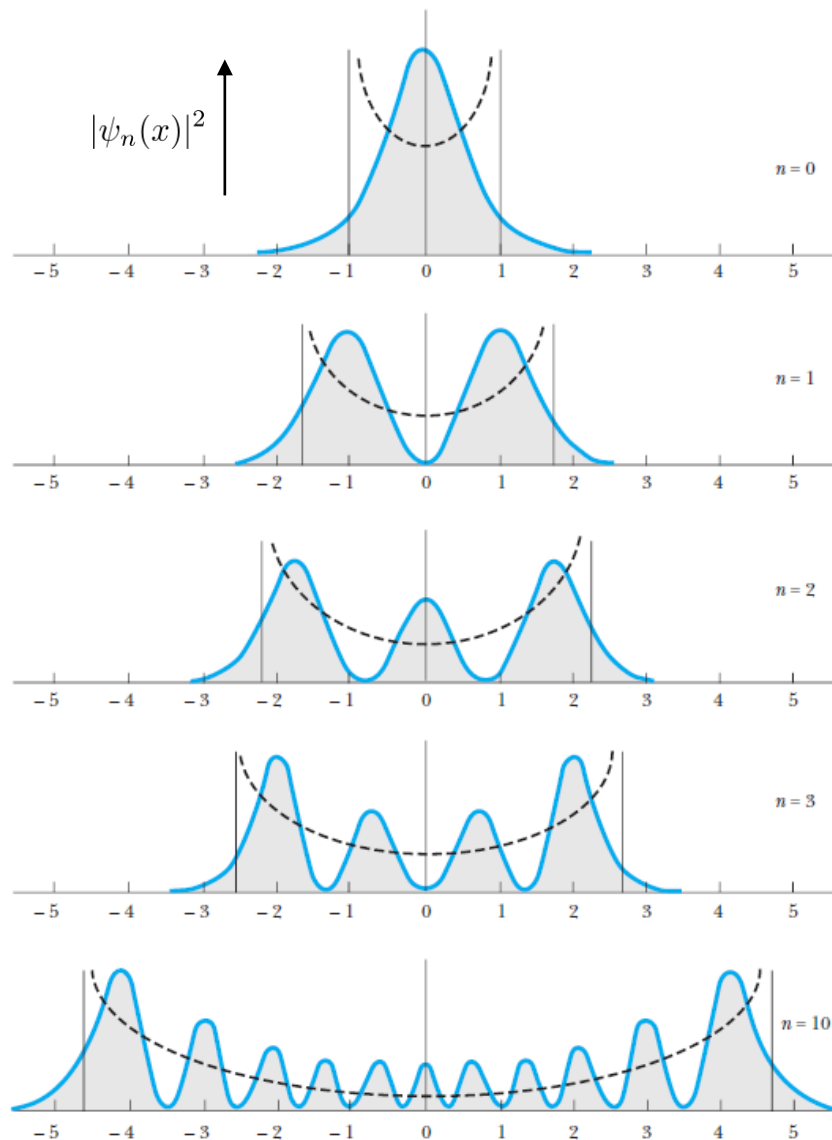
$$H_4(y) = 16y^4 - 48y^2 + 12,$$

$$H_1(y) = 2y,$$

$$H_3(y) = 8y^3 - 12y,$$

$$H_5(y) = 32y^5 - 160y^3 + 120y$$





Comparação com o caso clássico:

ρ_{cl} = probabilidade de a partícula estar entre x e $x + dx$

$$\rho_{cl} = \frac{dt}{T} = \frac{\omega}{2\pi} dt = \frac{\omega}{2\pi} \frac{1}{v} dx$$

A velocidade é: $v = \frac{dx}{dt} = A\omega \cos(\omega t)$

$$= \omega \sqrt{A^2 - A^2 \sin^2(\omega t)} = \omega \sqrt{A^2 - x^2(t)}$$

$$\longrightarrow \rho_{cl} dx = \frac{1}{2\pi} \frac{dx}{\sqrt{A^2 - x^2(t)}}$$

$$\int_{-\infty}^{+\infty} \rho_{cl} dx = 1 \longrightarrow \boxed{\rho_{cl} = \frac{1}{\pi} \frac{dx}{\sqrt{A^2 - x^2}}}$$

$$A^2 = \frac{2E}{m\omega^2} \longrightarrow \boxed{\rho_{cl} = \frac{\sqrt{m\omega^2}}{\pi} \frac{dx}{\sqrt{2E - m\omega^2 x^2}}}$$

EXERCÍCIO EXTRA

Determine a probabilidade de encontrar uma partícula sujeita a um potencial de oscilador harmónico na região clássicamente proibida para os estados $n = 0, 1, 2, 3, 4, \dots$. Comente.

$$\int_1^\infty e^{-y^2} dy = 0.1394, \quad \int_{\sqrt{3}}^\infty y^2 e^{-y^2} dy = 0.0495,$$

$$\int_{\sqrt{5}}^\infty (4y^2 - 2)^2 e^{-y^2} dy = 0.6740, \quad \int_{\sqrt{7}}^\infty (8y^3 - 12y)^2 e^{-y^2} dy = 3.6363,$$

$$\int_{\sqrt{9}}^\infty (16y^4 - 48y^2 + 12)^2 e^{-y^2} dx = 26.86,$$

Resposta:

$$P_0 = 0.1573, \quad P_1 = 0.1116, \quad P_2 = 0.095\,069, \quad P_3 = 0.085\,48, \quad P_4 = 0.078\,93.$$

EXERCÍCIO EXTRA

Considere uma partícula de massa m e carga eléctrica q sujeita a um potencial de oscilador harmónico unidimensional de frequência ω . O sistema encontra-se sujeito a um campo eléctrico uniforme $\vec{E} = \mathcal{E}\vec{e}_x$ (V/m).

- Escreva o Hamiltoniano do sistema.
- Determine $\psi_n(x)$ e E_n .

Resposta: i) $H = p^2/2m + m\omega^2 x^2/2 - q\mathcal{E}x$ ii) $E_n = \hbar\omega(n + 1/2) - \frac{\mathcal{E}^2 q^2}{2m\omega^2}$, $\psi_n(y) = \frac{1}{\sqrt{\sqrt{\pi} 2^n n! x_0}} e^{-y^2/2x_0^2} H_n\left(\frac{y}{x_0}\right)$
 $y = x - q\mathcal{E}/(m\omega^2)$